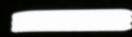
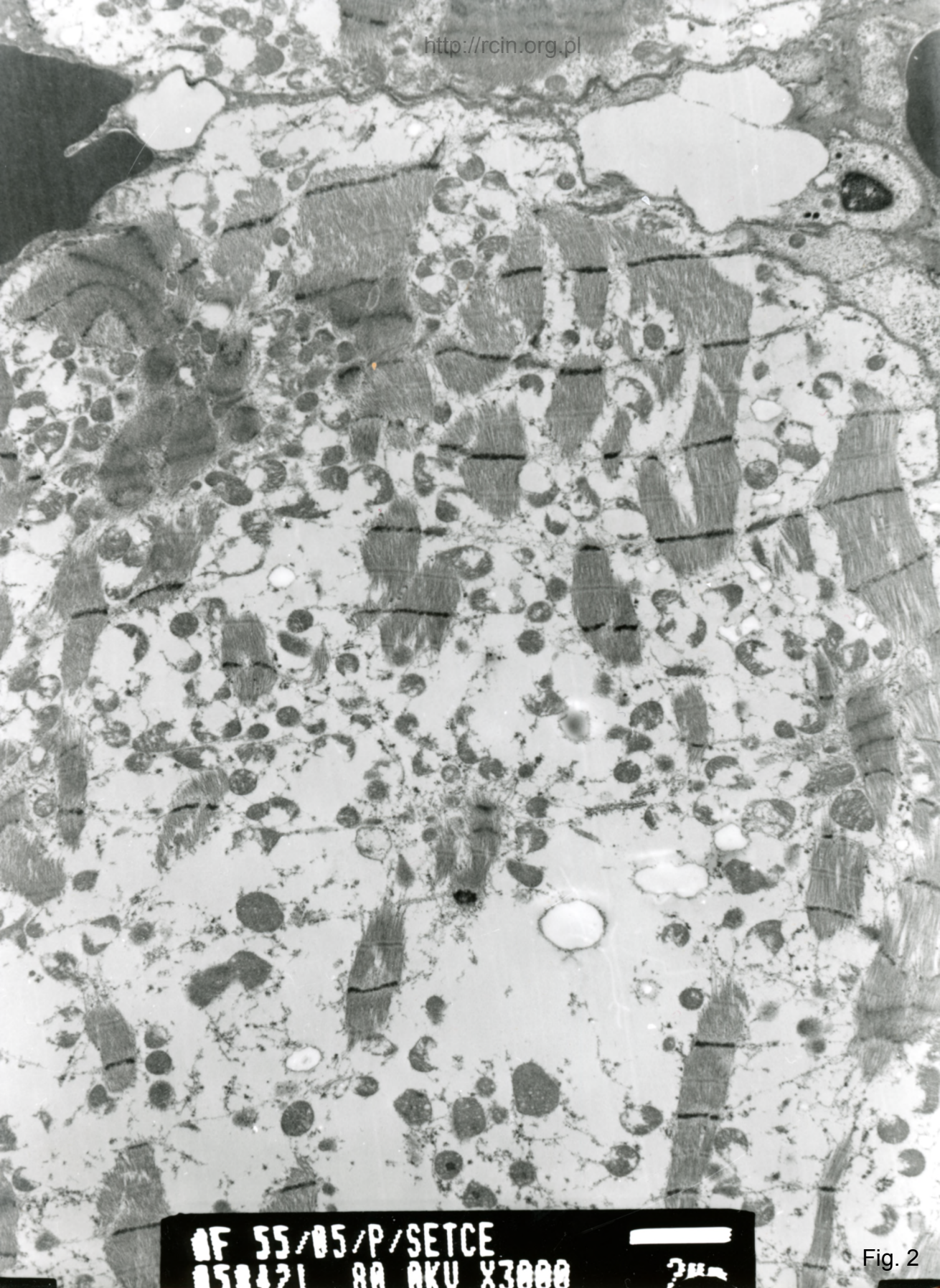


WF 55/05/P/SETCE
050417 80.0KV X2500



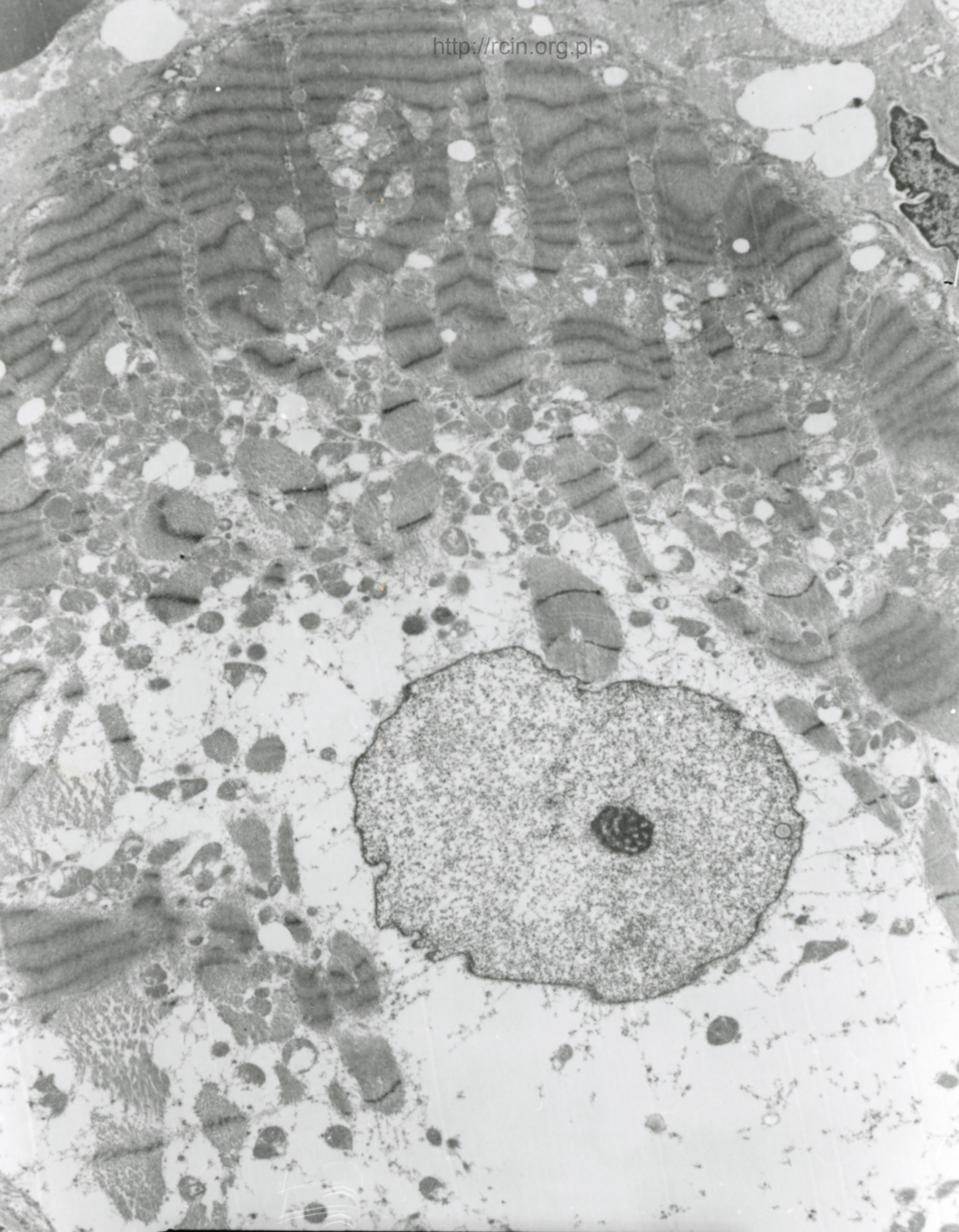
2µm

Fig. 1



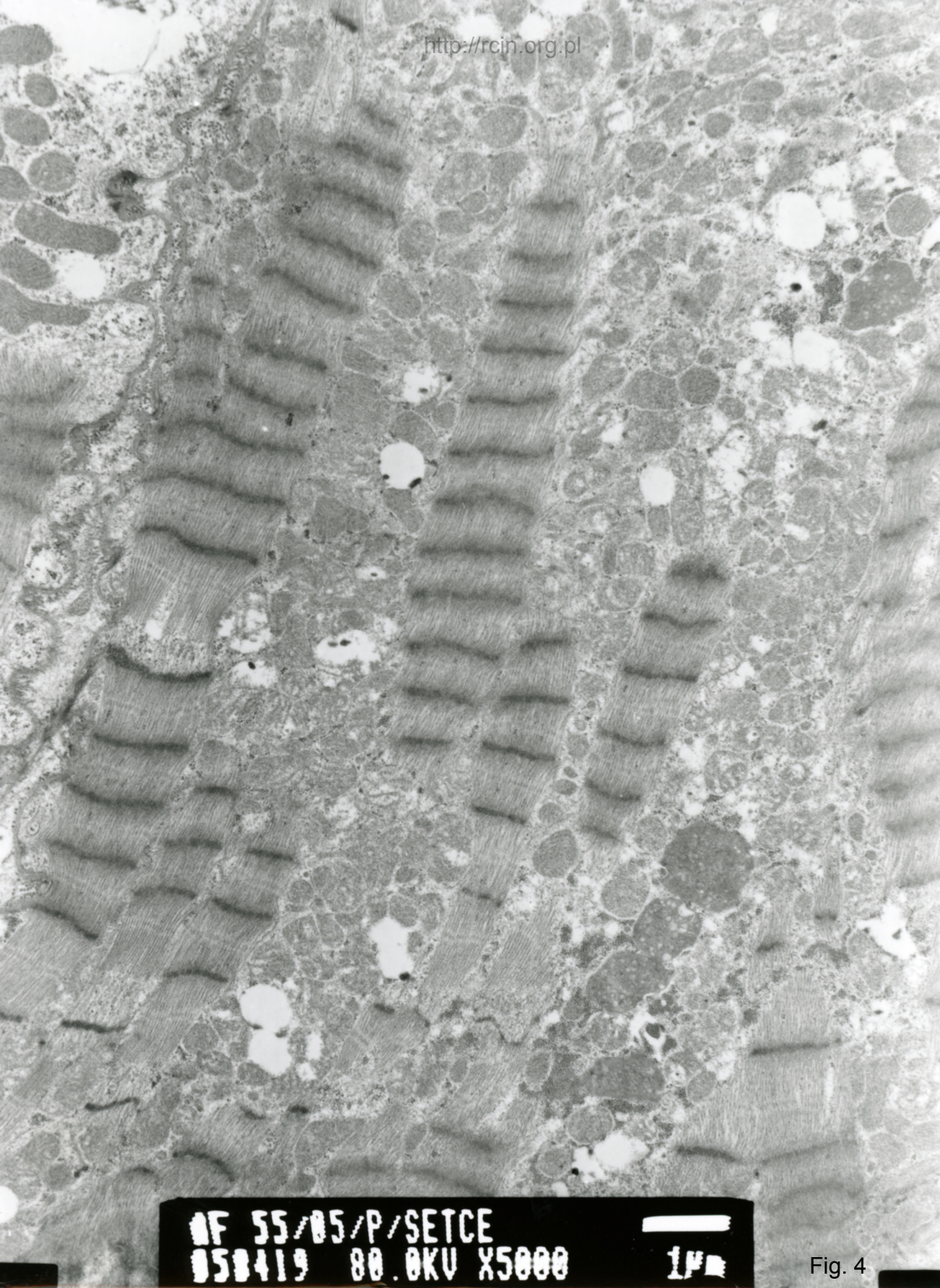
AF 55/05/P/SETCE
050421 00 AKU X3000

Fig. 2



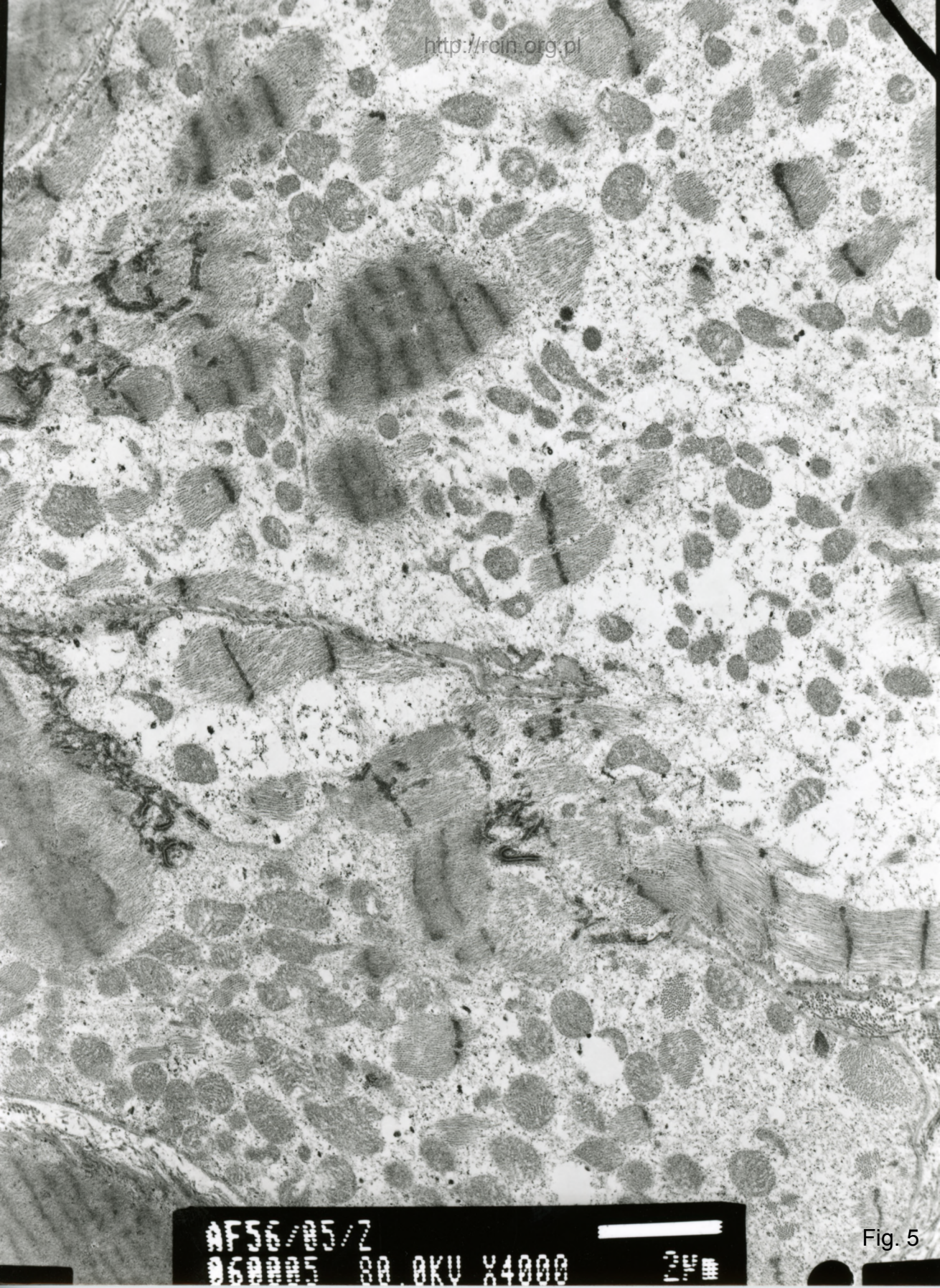
MF 55/05/P/SETCE
050422 80 0KV X2500 2µm

Fig. 3



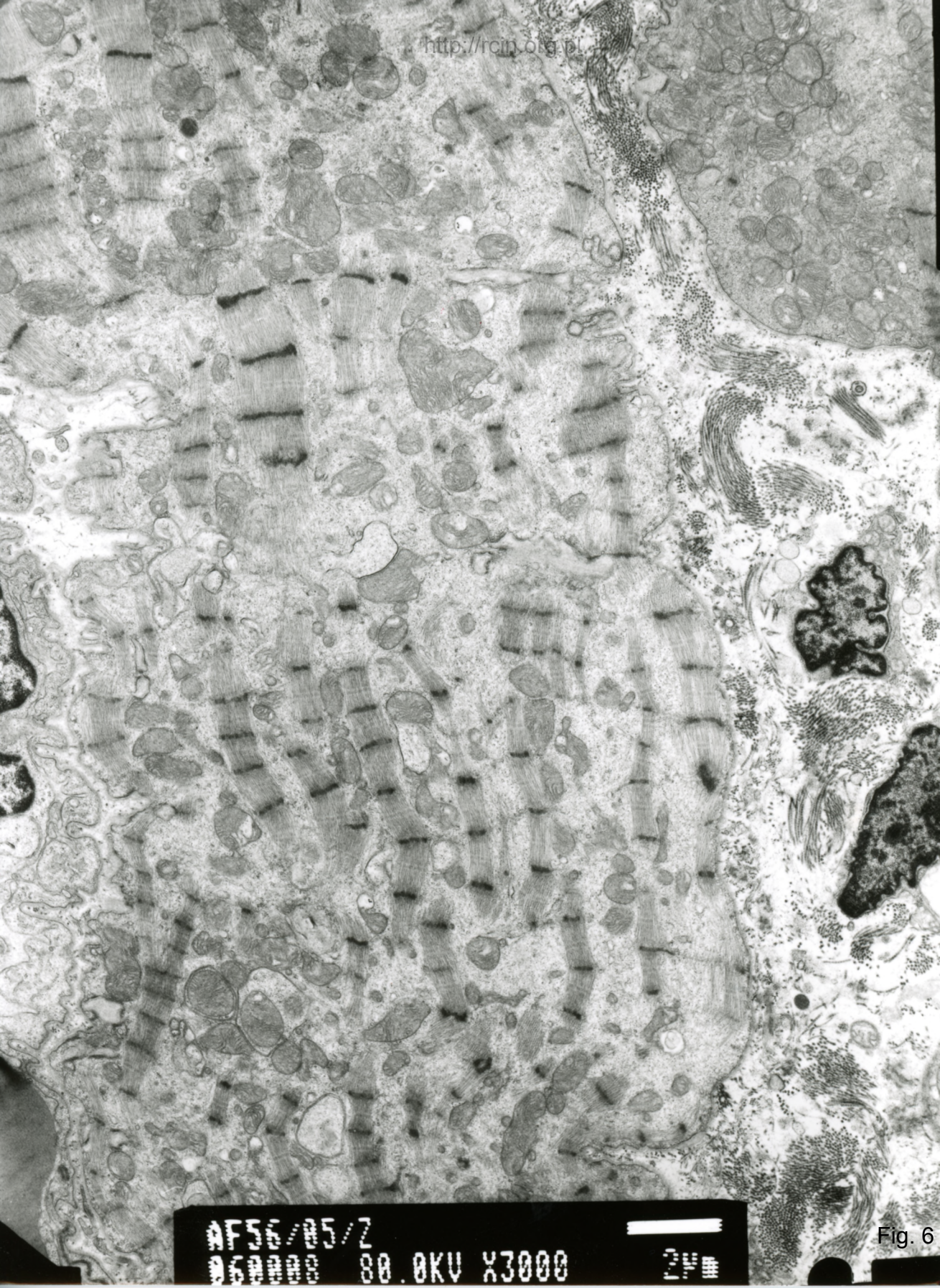
WF 55/05/P/SETCE
050419 80.0KV X5000 1µm

Fig. 4



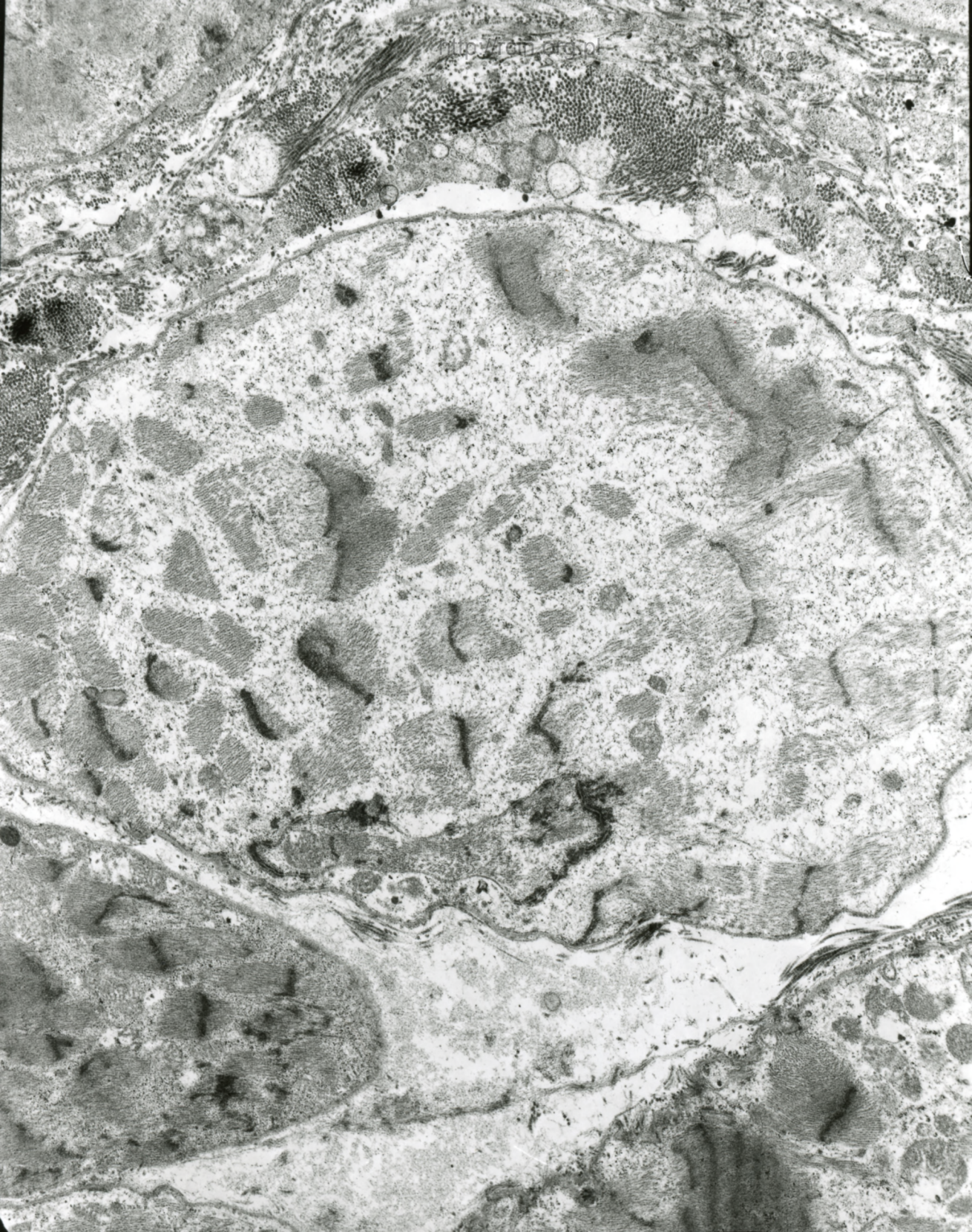
AF56/05/Z
060005 80.0KV X4000 2µm

Fig. 5



AF56/05/2
060000 80.0KV X3000 24

Fig. 6



http://www.oxfordjournals.org/

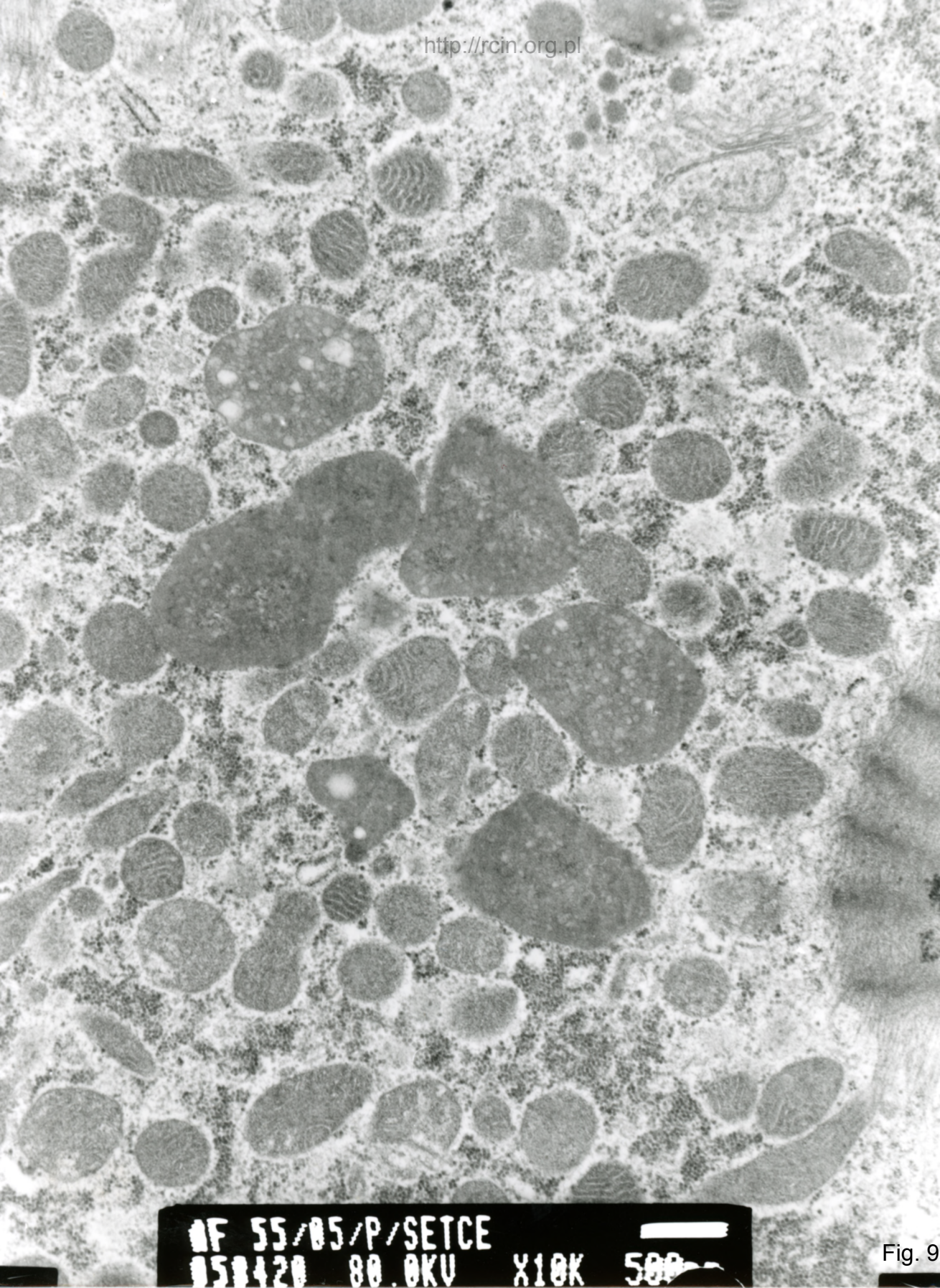
AF56/05/Z
060004 80.0KV X4000 24

Fig. 7



AF56/05/Z
060007 80 0KV X3000 24

Fig. 8



MF 55/05/P/SETCE
050420 80.0KV X10K 500

Fig. 9

55/05

1. 54

Niewydolność serca

Analiza ultrastrukturalna wykazała dezorganizację sarkomerów z cechami miocytozy (Fig. 1-8). Mitochondria posiadały zatartą strukturę (Fig. 9).

Heart failure

Ultrastructural analysis revealed disorganization of sarcomeres and features of myocytolysis in cardiomyocytes (Figs. 1-8). Mitochondria were characterized by blurred structure (Fig.9)